

КОММУТАЦИЯ ТОКА ИЗ БЫСТРОДЕЙСТВУЮЩЕГО РАЗМЫКАТЕЛЯ В ШУНТИРУЮЩИЙ ПРОВОДНИК

B. A. Лебедев, Д. П. Лепер, В. А. Ягнов

(Москва)

При многоступенчатой коммутации тока в цепи с индуктивным накопителем энергии (ИНЭ) быстродействующий размыкатель (БР) шунтируется одним или несколькими взрывающимися проводниками [1–3]. Чтобы обеспечить малые времена на заключительном этапе (при переводе тока в нагрузку), желательно на первом этапе производить коммутацию при максимальных допустимых плотностях тока в шунтирующем проводнике (ШП). Каковы эти максимальные допустимые плотности тока? В чем состоят физические причины, препятствующие перебросу большого тока в проводник малого сечения? До сих пор в качестве основной причины отказов при больших плотностях тока в ШП рассматривался пробой БР на стадии восстановления его электрической прочности. Действительно, с ростом плотности j_0 заканчивающего в проводнике тока время от момента гашения дуги в БР до момента взрыва ШП падает пропорционально j_0^{-2} , поэтому при больших плотностях тока дуговой промежуток не успевает восстановить свою электрическую прочность к моменту взрыва, что приводит к пробою БР. Однако, как показано в данной работе, отказ БР может происходить и на более ранней стадии, когда перевод тока в ШП еще не завершился. Работа посвящена теоретическому рассмотрению ограничений при коммутации тока из БР в ШП, возникающих в результате интенсивного разогрева ШП и резкого роста его сопротивления при больших плотностях тока.

1. Как известно [4, 5], рост сопротивления на начальных стадиях электрического взрыва проводника определяется в основном величиной удельного энерговклада $q = Q/m$, где $Q = \int_0^t i^2 R dt$ — полная вложенная энергия, m — масса проводника. Зависимость роста сопротивления от скорости ввода энергии, весьма существенная на стадии собственно электрического взрыва, на начальных стадиях (при $R/R_0 \leq 15$ для меди и $R/R_0 \leq 11$ для алюминия) большой роли не играет. При малой скорости ввода энергии в проводник (когда время релаксации температуры мало по сравнению с временем фазового перехода из твердого состояния в жидкое) зависимость относительного сопротивления от величины удельного энерговклада на начальной стадии электрического взрыва проводника является квазистатической. При большой скорости ввода энергии эта зависимость становится линейной и является продолжением линейной зависимости для твердой стадии; при этом максимальное отклонение от квазистатической зависимости не превышает 16% для меди (для алюминия еще меньше). Такая точность для формулируемой в данной работе математической модели процесса коммутации вполне достаточна, поскольку точность допущения (2.1) о линейном росте напряжения на БР вряд ли превышает 15–20%. В работе используется квазистатическая зависимость относительного сопротивления R/R_0 от удельного энерговклада q .

Для стадии нагрева в твердом состоянии ($R < R_{пл}$, $q < q_{пл}$), если пренебречь влиянием теплового расширения проводника, то

$$(1.1) \quad R/R_0 = 1 + \alpha q/c_p = 1 + q/q_1,$$

где α — температурный коэффициент сопротивления; c_p — удельная теплоемкость металла; $q_1 = c_p/\alpha$ — удельный энерговклад, соответствующий увеличению удельного сопротивления в 2 раза. Для меди $q_1 = 95 \text{ Дж/г}$, $R_{пл}/R_0 = 5,96$, $q_{пл} = 468 \text{ Дж/г}$. Стадия плавления в предположении, что плавление происходит с поверхности (жидкая и твердая фазы рассматриваются как параллельно включенные проводники), описывается зависимостью [6]

$$(1.2) \quad \frac{R}{R_0} = \frac{R_{пл}}{R_0} \left\{ 1 - \left[1 - \frac{\rho_t}{\rho_{ж}} \left(1 + \frac{\Delta V}{V} \right) \frac{\Delta q}{\lambda} \right] \right\}^{-1},$$

где ρ_t и $\rho_{ж}$ — удельные сопротивления твердой и жидкой фаз в точке

плавления; λ и $\Delta V/V$ — удельная теплота плавления и относительное увеличение объема при фазовом переходе; $\Delta q = q - q_{\text{пл}}$. Для меди $\rho_{\text{т}}/\rho_{\text{ж}} = 0,48$; $\lambda = 0,21 \text{ кДж/г}$; $\Delta V/V = 0,045$; (1.2) применимо при $5,96 \leq R/R_0 \leq 11,9$; $468 \text{ Дж/г} \leq q \leq 678 \text{ Дж/г}$. Формулы (1.1), (1.2) могут быть объединены в единую зависимость $R/R_0 = f(q/q_1) = f(Q/q_1 m)$. Дифференцирование $f(Q/q_1 m)$ по времени позволяет получить дифференциальное уравнение (3.2). Входящая в (3.2) функция $F(R/R_0)$ на участке до точки плавления проводника ($R/R_0 \leq 5,96$) равна единице.

2. При описании дуги в БР принята модель линейного роста напряжения (2.1), в пользу которой можно высказать следующие соображения. Предполагается, что процесс удлинения дуги является квазистационарным. В этом случае дуга характеризуется статистической зависимостью напряженности поля от тока $E(i_d)$; напряжение на дуге $U_d = E(i_d)v t$, где v — скорость удлинения дуги (в дальнейшем предполагается постоянной). Для обдуваемых дуг в диапазоне 10^3 — 10^5 А , горящих в условиях постоянного давления, характерна слабая зависимость напряженности поля от тока, что позволяет заменить $E(i_d)$ некоторым средним значением напряженности E . В этом приближении напряжение на дуговом промежутке

$$(2.1) \quad U_d = Evt.$$

При таком описании произведение Ev (скорость роста напряжения) является основным параметром, характеризующим БР. Например, для исследованного в [7] БР взрывного типа $E \approx 100 \text{ В/см}$, $v \approx 10^5 \text{ см/с}$, что дает $Ev \approx 10^7 \text{ В/с}$. Квазистационарный характер удлинения дуги в БР нарушается при подходе тока i_d к нулю. При этом напряженность поля в дуге падает, напряжение отклоняется от закона линейного роста (2.1). Более детальное исследование этой стадии процесса возможно лишь на основе учета динамических свойств дуги [8, 9]. Отметим, что основное предположение (2.1) неприменимо для БР, в которых дуга горит в замкнутом объеме в условиях растущего давления.

Для экспериментальной проверки (2.1) проведены измерения напряжения при работе БР взрывного типа на постоянном токе i_0 (без шунтирования). В этом случае измеряемое напряжение $U = U_d + i_0 dL_d/dt$, где L_d — собственная индуктивность дуги. Осциллограммы напряжения (фиг. 1) при токах 3 кА (сплошная кривая) и 25 кА (штриховая кривая) имеют хорошо выраженный линейный участок с $Ev \approx 1 \cdot 10^7 \text{ В/с}$ и весьма близки друг к другу. Погрешность, вносимая членом $i_0 dL_d/dt$ в измеряемое напряжение на БР, пренебрежимо мала. Действительно, собственная индуктивность дуги $L_d \sim \mu_0 v t$, где $\mu_0 = 4\pi \cdot 10^{-7} \text{ Г/м}$, $v = 10^5 \text{ см/с}$. При токе $i_0 = 25 \text{ кА}$ $i_0 dL_d/dt \sim i_0 \mu_0 v t = 31 \text{ В}$, что составляет всего 1,3% от максимального напряжения 2,3 кВ, развиваемого на БР.

3. ИНЭ является источником постоянного тока i_0 . Электрическая цепь при коммутации из БР в ШП содержит две параллельные ветви: ветвь БР, описанную (2.1), и ветвь ШП, описанную уравнением (3.2). Каждая из ветвей имеет свою паразитную индуктивность L_p , $L_{\text{ш}}$. Условие равенства напряжений на обеих ветвях дает

$$(3.1) \quad L_p di_d/dt + Evt = L_{\text{ш}} di/dt + iR,$$

где R , i — сопротивление и ток для ветви ШП. Учитывая, что $i_d = i_0 - i$, получаем уравнение (3.2), где $L = L_p + L_{\text{ш}}$ — суммарная паразитная индуктивность контура.

Полная система уравнений, описывающих коммутацию тока из БР в ШП, имеет вид

$$(3.2) \quad Ldi/dt + iR = Evt;$$

$$(3.3) \quad \frac{1}{R_0} \frac{dR}{dt} = \frac{i^2 R}{q_1 m} F\left(\frac{R}{R_0}\right);$$

$$(3.4) \quad t = 0, \quad i = 0, \quad R = R_0.$$

Время коммутации тока в ШП τ_k определяется из условия

$$(3.5) \quad i = i_0 \text{ при } t = \tau_k.$$

4. Если перейти к безразмерным переменным $x = t/\tau_1$, $y = i/i_1$, $z = R/R_0$, где $\tau_1 = \left[\frac{R_0 q_1 m}{(Ev)^2} \right]^{1/3}$; $i_1 = \left[\frac{Ev q_1 m}{R_0^2} \right]^{1/3}$, то (3.2)–(3.5) записывается следующим образом:

$$(4.1) \quad \beta y' + yz = x;$$

$$(4.2) \quad z' = y^2 z F(z);$$

$$(4.3) \quad x = 0, y = 0, z = 1;$$

$$(4.4) \quad y = \gamma \text{ при } x = \tau_k/\tau_1.$$

Входящие в (4.1), (4.4) безразмерные параметры β , γ определяются равенствами

$$\beta = L \left[\frac{(Ev)^2}{R_0^4 q_1 m} \right]^{1/3} = \frac{LS}{l^{5/3}} \left[\frac{(Ev)^2}{\rho_0^4 q_1 \delta} \right]^{1/3},$$

$$\gamma = i_0 \left[\frac{R_0^2}{Ev q_1 m} \right]^{1/3} = \frac{i_0 l^{1/3}}{S} \left[\frac{\rho_0^2}{Ev q_1 \delta} \right]^{1/3},$$

где $\delta = m/V$ — плотность; ρ_0 — начальное удельное сопротивление проводника (для меди $\delta = 8,9 \text{ г/см}^3$, $\rho_0 = 1,72 \cdot 10^{-6} \text{ Ом}\cdot\text{см}$); l и S — длина и сечение ШП. Параметр β имеет смысл безразмерной индуктивности, параметр γ — безразмерной плотности тока. Режимы, характеризующиеся одинаковыми значениями β , γ , являются подобными. Подобные режимы следует понимать как подобие временных зависимостей токов в обеих ветвях, напряжений на любом из элементов схемы, сопротивлений дуги и ШП, мощностей джоулевых потерь в дуге и в ШП.

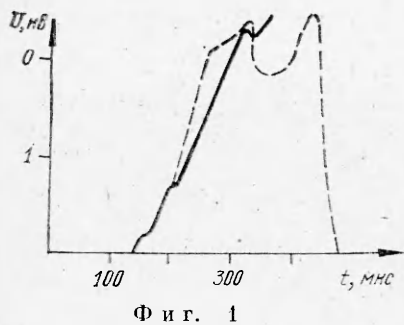
5. В безындуктивном предельном случае ($L = 0$) система (3.1)–(3.3) имеет аналитическое решение, справедливо для стадии нагрева проводника в твердом состоянии ($R/R_0 \leq 5,96$):

$$(5.1) \quad R = R_0 \sqrt{1 + \frac{2}{3} \left(\frac{t}{\tau_1} \right)^3}, \quad i = \frac{Evt}{R_0 \sqrt{1 + \frac{2}{3} \left(\frac{t}{\tau_1} \right)^3}}.$$

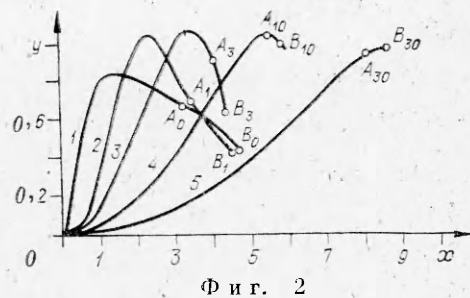
Функция $i(t)$, согласно (5.1), имеет максимум при $t_{\max} = (3)^{1/3} \tau_1$, величина которого $i_{\max} = (1/3)^{1/6} i_1$. Коммутация возможна, если $i_0 < i_{\max}$. Это условие в безразмерном виде имеет вид $\gamma < \gamma_* = (1/3)^{1/6} = 0,83$ и соответствует тому, что существует критическая плотность тока в ШП

$$(5.2) \quad j_* = 0,83 [Ev q_1 \delta / (\rho_0^2 l)]^{1/3}.$$

При плотностях тока $j_0 = i_0/S > j_*$ ток в ШП после достижения максимального значения начинает падать, происходит возвращение тока в дугу. Для медных проводников (5.2) дает $j_* = 5,5 \cdot 10^4 (Ev/l)^{1/3}$, где j_* , А/см^2 ; Ev , В/с ; l , см. Сопротивление при $t_{\max} = 3^{1/3} \tau_1$ имеет значение $R_{\max} = R_0 \sqrt{3}$, что соответствует удельному энерговкладу 70 Дж/г. Решение (5.1) приближенно применимо в том случае, когда напряжение на индуктивности $L di/dt$ в любой момент времени мало в сравнении с напряжением на БР $U_d = Evt$. В этом случае можно пренебречь членом $L di/dt$ в (3.1) и членом $\beta y'$ в (4.1). Коммутацию, при которой $|L di/dt| \ll U_d$, можно назвать безындуктивной или «медленной». Область применимости приближения «медленной» коммутации, как показывает более подробное рассмотрение, определяется условием $\beta/\gamma \ll 1$. Поскольку $\beta/\gamma = LS^2 Ev / (i_0^2 l^2 \rho_0^2)$, коммутация является «медленной» при малых индуктивностях L , малых скоростях роста напряжения Ev , малых сечениях S , больших длинах l и больших коммутируемых токах i_0 .



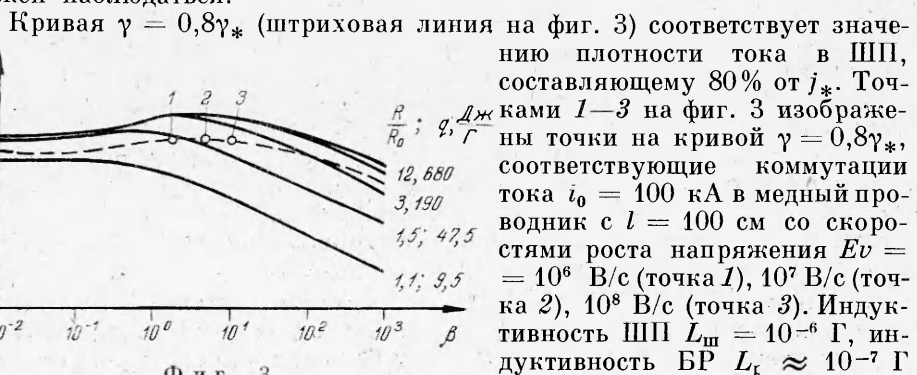
Фиг. 1



Фиг. 2

6. Для общего случая система (4.1)–(4.4) численно решалась на ЭВМ. Уравнения (4.1), (4.2) и начальные условия (4.3) содержат параметр β ; параметр γ входит только в безразмерное условие коммутации (4.4). Таким образом, (4.1)–(4.3) определяют однопараметрическое семейство решений $y(x, \beta)$, $z(x, \beta)$ (фиг. 2), представляющие собой временные зависимости тока в ШП в безразмерных переменных, имеют максимум при любых β ($\beta = 0; 1; 3; 10$ и 30 — кривые 1–5 соответственно). Условие коммутации (4.4) может быть удовлетворено лишь при $\gamma < < y_{\max}(\beta)$; при $\gamma > y_{\max}(\beta)$ происходит возвращение тока из ШП в дугу, что соответствует отказу в работе БР. Таким образом, y_{\max} играет роль критического значения γ_* , соответствующего границе области коммутации. На фиг. 2 на кривых $y(x, \beta)$ указаны точки, соответствующие моменту начала плавления (A_β) и моменту перехода всей массы проводника в жидкое состояние (B_β). Точки A_β , B_β при малых β лежат на падающей части кривых $y(x, \beta)$, при $\beta \gg 1$ падение тока в ШП и начало плавления по времени почти совпадают.

На фиг. 3 изображена граница области коммутации $\gamma_*(\beta)$ на плоскости параметров β , γ , а также кривые $R/R_0 = \text{const}$, соответствующие постоянному относительному увеличению сопротивления, достигаемому к моменту окончания коммутации. Около кривых указаны значения R/R_0 и соответствующие им значения удельного энерговклада. Граница области коммутации при $\beta \ll 1$ выходит на значение $\gamma_* = 0,83$, соответствующее безындуктивному предельному случаю. С увеличением β наблюдаются незначительный рост γ_* в области $\beta \sim 1$ и затем медленное падение γ_* при $\beta \gg 1$ (приблизительно $\gamma_* \sim \beta^{-1/5}$). Фиг. 3 показывает, что γ_* при изменении β в широком диапазоне меняется очень слабо (от 1 до 0,6). Это позволяет вблизи границы области коммутации заменить условие медленной коммутации $\beta/\gamma \ll 1$ (условие быстрой коммутации $\beta/\gamma \gg 1$) более простыми условиями $\beta \ll 1$ и $\beta \gg 1$. Кривая $R/R_0 = \text{const}$ при $\beta \gg 1$ характеризуется уменьшением γ по тому же закону $\gamma \sim \beta^{-1/5}$. Кривая $R/R_0 = 12$ начинается при $\beta = 54$ и почти совпадает с границей области коммутации. Это означает, что к моменту окончания коммутации переход всей массы проводника в жидкое состояние почти никогда не должен наблюдаться.



44

и может не приниматься во внимание. Сечения ШП для точек 1—3 соответственно $8,5 \text{ мм}^2$; $3,8 \text{ мм}^2$; $1,91 \text{ мм}^2$. На фиг. 4 представлены соответствующие параметрами точек 1—3 численные осциллограммы токов в БР (сплошные кривые) и напряжений на двухполюсные БР—ШП. Характерные скачки на осциллограммах напряжения обусловлены тем, что в моменты, соответствующие окончанию

коммутации, напряжение на индуктивности мгновенно обращается в нуль.

7. Таким образом, установлено, что существуют критические плотности тока j_* , вблизи которых разогрев проводника в процессе коммутации становится существенным. При $j > j_*$ сопротивление ШП растет столь быстро, что ток в дуге, не дойдя до нуля, начинает снова увеличиваться, т. е. происходит отказ БР. При «быстрой» коммутации ($\beta \gg 1$) в ШП к моменту окончания коммутации можно закачать не больше 700 Дж/г ($R/R_0 \approx 12$); при «медленной» коммутации ($\beta \ll 1$) величина допустимого удельного энерговклада снижается до 70 Дж/г ($R/R_0 = \sqrt{3}$). Получено аналитическое выражение для критической плотности тока при «медленной» коммутации; для «быстрой» коммутации значение критической плотности тока может быть рассчитано с помощью фиг. 3 с учетом

$$j_0 = \gamma [Evq_1\delta/(p_0 l)]^{1/3}.$$

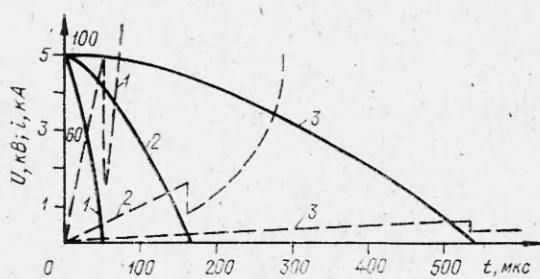
Как видим, возможны две причины отказов БР при больших плотностях тока: 1) рассмотренное в данной работе возвращение тока в дугу до завершения коммутации тока в ШП; 2) пробой дугового промежутка на стадии восстановления его электрической прочности. Вопрос о том, какое из этих двух ограничений играет основную роль в действительности, пока не выяснен. Можно думать, что в некоторых условиях действует первое ограничение, в других — второе. Полученные оценки критической плотности тока позволяют во всяком случае указать верхнюю границу по плотности тока в ШП, выше которой коммутация наверняка невозможна.

В заключение авторы выражают благодарность Э. А. Азизову за обсуждение работы.

Поступила 6 II 1981

ЛИТЕРАТУРА

1. Koch W., Salge J. Über die Erzeugung von Stoßströmen mit Sprengtrennern.— Elektrotechnische Zeitschrift, A, 1966, Bd 87, S. 697—700.
2. Азизов Э. А., Ахмеров Н. А., Николаевский В. Г., Соколов Б. С., Финько С. В. О выводе энергии из индуктивного накопителя мощным сильноточным коммутатором с шунтированием дуги.— В кн.: Тезисы докладов научной сессии Научного совета по теорет. и электр. проблемам электроэнергетики АН СССР. М., 1971.
3. Бенескринтов И. Ю., Ларионов Б. А., Столов А. М. Двухступенчатый быстродействующий размыкатель.— В сб.: Труды семинара специалистов СССР — США «Индуктивные накопители энергии и коммутационная аппаратура для термоядерных установок». Л., 1974.
4. Бондаренко В. В., Кварцхава И. Ф., Плютто А. А., Чернов А. А. Осциллографическое определение энергии электрического взрыва проволок.— ЖЭТФ, 1956, т. 31, вып. 5.
5. Уэбб Ф., Хилтон Г., Левин П., Толлестрап. Электрические и оптические характеристики быстрого взрыва проволочек.— В сб.: Электрический взрыв проводников. М.: Мир, 1965.
6. Герасимов Л. С., Пинчук А. И., Стукалин Ю. А. Начальные стадии электрического взрыва проводника в LC -контуре.— ПМТФ, 1978, № 6.
7. Азизов Э. А., Ахмеров Н. А., Рябцев Г. В., Ягнов В. А. Восстановление напряжения на размыкателье при взаимодействии высокоскоростных сред с коммутационной



Фиг. 4

- дугой.— In: Proceedings of the 3rd Intern. Symposium on Switching Arc Phenomena. Poland, Lodz, 1977.
8. Mayr O. Beitrag zur Theorie des statischen und dynamischen Lichtbogens.— Archiv für Elektrotechnik, 1943, Bd 37, N 12.
 9. Cassie A. M. A new theory of rupture and circuit severity. CiGRE, 1939, Rep. N 102.

УДК 538.54.001

О ТЕПЛОВОМ ОГРАНИЧЕНИИ СКОРОСТИ КОЛЬЦЕВЫХ ПРОВОДНИКОВ ПРИ ИНДУКЦИОННОМ АКСИАЛЬНОМ УСКОРЕНИИ

A. M. Балтаханов, Е. Н. Иванов

(Истра)

В [1,2] экспериментально показана возможность получения на электромагнитных ускорителях скоростей 1–5 км/с плоских кольцевых проводников. Одним из основных ограничений в достижении высоких скоростей при метании проводников в магнитном поле является нагрев проводника и переход его из твердого состояния в жидкое и газообразное. Вместе с тем при практическом использовании высокоскоростных ускорителей макрочастиц возникает задача определения физико-механических свойств и физического состояния метаемых ударников. Экспериментально решить указанную задачу чрезвычайно сложно из-за кратковременности процесса ускорения и высоких скоростей ударников. В [3] путем приближенного анализа получено соотношение, устанавливающее связь процесса нагрева и электромагнитного ускорения проводника, справедливая в диапазоне от температуры кипения азота до температуры плавления соответствующего металла, а в [4,5] получены выражения для предельной скорости плоских металлических макрочастиц в идеальном случае ускорения их в одномерном магнитном поле.

В данной работе рассмотрены процессы нагрева при ускорении плоского металлического кольца в двумерном импульсном магнитном поле одновиткового индуктора.

Принципиальная схема ускорения показана на фиг. 1. Система интегродифференциальных уравнений, описывающих электромагнитные и электромеханические переходные процессы в рассматриваемом устройстве, имеет вид [6]

$$(1) \quad \tilde{\delta}(Q, t) + \frac{\mu_0 v(Q, t)}{2\pi} \frac{d}{dt} \sum_{i=1}^2 \int_{S_i} \tilde{\delta}(M, t) K(Q, M) ds_i = \\ = \begin{cases} \frac{v(Q, t)}{2\pi \sqrt{r_Q}} \varphi[i_1(t)] & \text{для } i = 1, \\ 0 & \text{для } i = 2; \end{cases}$$

$$(2) \quad m \frac{dv}{dt} = \mu_0 \int_{S_2} \tilde{\delta}(Q, t) \sum_{i=1}^2 \int_{S_1} \tilde{\delta}(M, t) \frac{z_Q - z_M}{\sqrt{(z_Q - z_M)^2 + (r_Q + r_M)^2}} \frac{1}{\sqrt{r_M r_Q}} \times \\ \times \left[-K + \frac{(z_Q - z_M)^2 + r_Q^2 + r_M^2}{(r_Q - r_M)^2 + (z_Q - z_M)^2} E \right] ds_i ds_2;$$

$$(3) \quad \frac{dz}{dt} = v,$$

где

$$\varphi[i_1(t)] = U_0 - R_0 i_1 - L_0 \frac{di_1}{dt} - \frac{1}{C} \int_0^t i_1 dt; \quad i_1 = \int_{S_1} \frac{\tilde{\delta}(M, t)}{\sqrt{r_M}} ds_1;$$

$\tilde{\delta}(Q, t) = \delta(Q, t) \sqrt{r_Q}$; S_i — меридианное сечение проводников индуктора ($i = 1$) и ускоряемого кольца ($i = 2$); v — скорость кольца; z — расстояние между индуктором и кольцом; L_0 , R_0 — внутренние индуктивность и активное сопротивление емкостного накопителя энергии; Q , M — произвольные точки в меридианном сечении проводников s_i ; $K(Q, M) =$